УДК 550.838: 551.24(571.6)

ГЕОФИЗИКА

м. л. крейнин

ГЕОЛОГИЧЕСКИЕ РЕЗУЛЬТАТЫ СТАТИСТИЧЕСКОГО АНАЛИЗА ПРОСТИРАНИЯ ОСЕЙ ЭЛЕМЕНТАРНЫХ МАГНИТНЫХ АНОМАЛИП ДАЛЬНЕГО ВОСТОКА

(Представлено академиком А. В. Пейве 10 IV 1972)

Магнитное поле Дальнего Востока имеет сложный интерференционный характер, обусловленный влиянием различных геологических факторов. Это приводит к его неоднозначной интерпретации.

Метод направленного суммирования с одновременной частотной фильтрацией (н.с.ч.ф.) разработан на основе методики и аппаратуры РНП (³) и позволяет разложить суммарное поле на его составляющие и выявить основные простирания элементарных аномалий. Методика н.с.ч.ф. позволяет выделять аномалии, связанные с линейными аномалеобразующими телами.

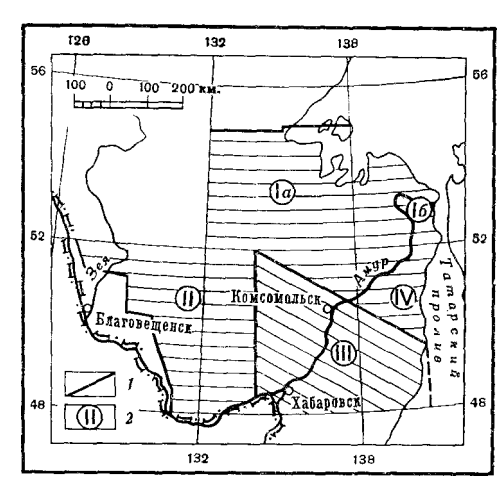


Рис. 1. Обзорная схема района исследований. *I* — граниды участков аэромагнитных съемок, материалы которых использованы в работе; 2 — номера участков (штриховка соответствует направлению маршрутов съемки)

Нами обработаны методом н.с.ч.ф. материалы среднемасштабной аэромагнитной съемки Дальнего Востока (рис. 1). В статье изложены результаты статистического анализа простираний около 12 000 осей элементарных магнитных аномалий, впервые использованного применительно к отдельным геологическим объектам.

Для проведения статистического анализа совместно с Н. Н. Васильевым была составлена тектоническая карта, при построения которой был применен принцип. использованный Э. П. Изохом (2) в схеме тектонического районирования Северного Сихотэ-Алиня г Приамурья, - возраст Нижнего консолидации геосинклинальных структур. Этот принцип был распространен на всю изучаемую территорию (тектоническая основа рис. 2). Контуры структурно-фор-

мационных зон, блоков Буреинского массива и наложенных структур проведены по геологической карте Хабаровского края и Амурской области (4) Для удобства изложения Джагдинская зона условно разделена на четыручастка: основной (B_4) и периферийные — северный (B_1) , средний (B_2) и южный (B_3) .

Розы-диаграммы простираний осей элементарных магнитных аномалий были построены для всех структурно-формационных зон, блоков и мезозойских наложенных впадин и прогибов. Максимумы роз-диаграмм отмечаю: наиболее интересные в геологическом отношении направления и характеризуют простирания структур и разломов с магнитоактивными породаме.

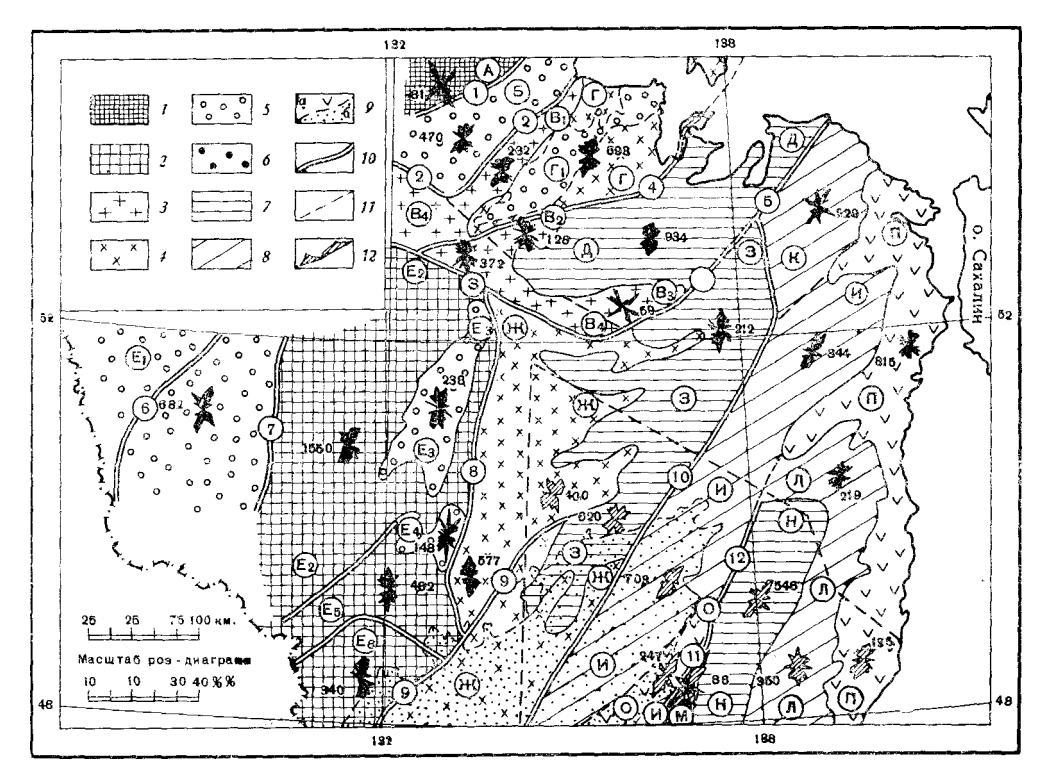


Рис. 2. Карта роз-диаграмм простираний осей элементарных магиптных апомалий Дальнего Востока. 1 — область протерозойской складчатости Становика — Джугджура, активизированная в мезозое; 2 — область раниепалеозойской складчатости Буреинского массива, активнзированная в позднем палеозое — раинем мезозое; 3—5 — Монголо-Охотская складчатая система: 3 — средне-поздпепалеозойская Джагдииская структурно-формационная зона, 4 — поздненалеозойские складчатые структуры, 5 — мезозойские наложенные Зее-Бурениская. Тырминская впадины и Удский, Торомский (Γ_1), Верхне-Буреннский прогибы; 4,6-9 — С и х о т э - А л и и ьская складчатая система: позднепалеозойские складчатые структуры: 4 — Урмийская, 6 — Центрально-Сихотэ-Алиньская (М) структурно-формационные зоны: 7 — позднеюрские — раниемеловые складчатые структуры: Ульбанская, Чукчагирская, Дукинская, Горинская, Бираканская; Северо-Сихото-Алиньская (Н) структурно-формационные зоны; 8 — позднемеловые складчатые структуры: Амуро-Уссурийская (И), Нижне-Амгунская (К), Восточно-Сихотэ-Алиньская структурно-формационные зоны; 9 — позднемеловые и кайпозойские наложенные структуры: а) выполненные вулканогенными образованиями: Хорско-Апюйский (сантон — даний) прогиб (О), Прибрежный (сантон — даний — кайнозой) вулканогенный пояс (П); б) выполнениая пресноводно-континентальными терригенными отложениями Средне-Амурская (кайнозой) межгорная впадипа; 10—главные разломы (цифры в кружке): 1—Прибрежный, 2—Тукурингрский, 3—Южно-Тукурингрский, 4—Ассыни-Тугурский, 5 — Омальский, 6 — Зейский, 7 — Западпо-Туранский, 8 — Хингано-Бурешский, 9 — Куканский, 10 — Амурский, 11 — Западпый Сихотэ-Алиньский, 12 — Центрально-Сихотэ-Алиньский, 11 — границы участка III обработки графиков магнитного поля по методу н.с.ч.ф; 12 — розы-диаграммы тектонических зон в пределах участка III. Пунктиром показаны условные границы участков Джагдинской и других зои при построении роз-диаграмм; числа означают общее количество элементарных аномалий N, использованных при построении каждой розы-диаграммы

Визуальное сравнение этих роз-диаграмм позволяет сделать некоторые геологические выводы.

Рассмотрим построенные розы-диаграммы (рис. 2), постепенно переходя от самых древних зон консолидации геосинклинальных структур к наиболее молодым.

Розы-диаграммы, построенные для области протерозойской складчатости Становика — Джугджура (А), активизированной в мезозое, и мезо-

зойского наложенного Удского (Б) прогиба своими максимумами отмечаю одинаковые направления: северо-восточное, север-северо-восточное и севе ро-западное. Это позволяет говорить, что большая часть этой территории разбита единой системой разломов и для значительной части Удского прогиба (северной и северо-восточной) фундаментом служат протерозойски метаморфические породы области Становика — Джугджура, интрудирован ные протерозойскими и мезозойскими интрузиями различного состава Кроме того, для Удского прогиба запад-северо-западное направление выде лено более четко.

Роза-диаграмма основного участка Джагдинской структурно-формаци онной зоны (B_4) Монголо-Охотской складчатой системы указывает на боль шую сложность и блоковое строение этого участка, что проявилось в простираниях любых азимутов. В пределах северного периферийного участка (B_4) этой зоны можно говорить о преобладации северо-восточных направлений, а в пределах среднего периферийного участка (B_2) — северо-западных направлений. Только для южного периферийного участка (B_3) памечаются три системы магнитных аномалий: северо-восточная, север-северо-западная и северо-западная. Однако последний вывод педостаточно надежен, так как при построении этой розы-диаграммы использовано лишь N=59 элементарных аномалий.

Роза-диаграмма северного периферийного участка средне-поздне-палеозойской Джагдинской зоны (B_i) аналогична розе-диаграмме нозднепалеозойской Удско-Шантарской (Γ) зоны. Это позволяет предполагать, что синийские и кембрийские отложения Джагдинской зоны подстилают большую

часть юрских и меловых отдожений Удско-Шантарской зоны.

Большое сходство роз-диаграмм Зее-Буреинской (E₁) впадины и Туранского блока (E₂) Буреинского массива указывает на то, что фундаментом Зее-Буреинской впадины является погруженная часть Туранского блока. Таким образом, гранитизированная структура Буреинского массива значительно шире видимых на геологической карте контуров: на территории Зее-Буреинской впадины она погребена под чехлом мезойско-кайно-зойских отложений. Та же мысль ранее высказывалась многими геологами ((⁵⁻⁷) и др.). Следует отметить большую надежность нового подтверждения этого положения о фундаменте Зее-Буреинской впадины, так как розы-дпаграммы этой впадины и Туранского блока Буреинского массива построены при N, равном соответственно 682 и 1550.

Розы-диаграммы Тырминской (E₄) впадины и Северо-Хинганского (E₅) блока почти совпадают. Это указывает на то, что фундаментом Тырминской

внадины является продолжение Северо-Хинганского блока.

Северное направление роз-диаграмм Южно-Хинганского (E_6), Северо-Хинганского (E_5) блоков Буреинского массива и Тырминской впадины соответствует простиранию позднебайкальских складчатых структур и разломов, а север-северо-западное направление розы-диаграммы Верхне-Буреинского (E_3) прогиба отражает поворот этих простираний. Таким образом, Северо-Хинганский и Южно-Хинганский блоки разбиты единой субмеридиональной системой разломов.

Это характерное северное направление отмечено и на розе-диаграмме позднепалеозойской Урмийской (Ж) структурно-формационной зоны Сихоте-Алиньской складчатой системы, что служит указанием на возможность продолжения байкальских структур Буреинского массива на восток. Отметим, что П. Н. Кропоткин еще в 1954 г. выделял мезозойский Хиигано-Буреинский антиклинорий, ядром которого является раннепалеозойская складчатая зона Малого Хингана и Буреинского хребта север-северо-восточного простирания, переработанная мезозойской складчатостью (7). Взаимное расположение участков П и ПП обработки графиков магнитного поля по методу п.с.ч.ф. и наличие «краевого» эффекта позволяют утверждать продолжение байкальских структур лишь в юго-западной части Урмийской зоны (в пределах участка П).

Розы-диаграммы всех структурно-формационных зон Сихотэ-Алиньской складчатой системы в пределах участка III обработки по методу н.с.ч.ф. можно разделить на две группы:

1) поздненалеозойская Урмийская (Ж) и позднеюрская— раннемеловая Чукчагирская, Дукинская, Горинская, Бираканская (З) зоны с севе-

ро-восточным и северо-западным направлениями;

2) все остальные, кроме позднемеловой Восточно-Сихота-Алиньской (Л) зоны, у которых четко фиксируется северо-восточное направление, соответствующее главному направлению мезозойских складчатых и разрывных структур Сихоте-Алиньской складчатой системы.

Это различие роз-диаграмм, по-видимому, связано с наличием блоков, существовавших в момент заложения и формирования Сихото-Алиньской

геосинклинали.

Направление полетов при аэромагнитной съемке (рис. 1) позволило в результате обработки по методу н.с.ч. $\dot{\phi}$. выделить в пределах участка III широтные простирания поперек Сихотэ-Алиньским, что отмечалось многими геологами ($\binom{1}{s}$) и др.).

Роза-диаграмма Ульбанской (Д) зопы изометрична и характеризует наложение в пределах этой зоны тектонических движений Монголо-Охотской

и Сихотэ-Алиньской складчатых систем.

Всесоюзный пефтиной паучно-псследовательский геологоразведочный институт
Ленинград

Поступпло 2 IV 1972

ПИТИРОВАННАЯ ЛИТЕРАТУРА

¹ Э. П. Изох, Геол. и геофиз., № 1 (1966). ² Э. П. Изох. В. В. Руссидр.. Интрузивные серии Северного Сихотэ-Алиня и Нижнего Приамурья, их рудоносность и происхождение, М., 1967. ³ А. Б. Когаи, А. М. Абельский и др., Апализ потепциальных полей по принципу направленного суммирования с одновременной частотной фильтрацией. Обзор ОНТИ ВИЭМС, сер. регион., развед. и промысл. геофиз., № 8, М., 1967. ⁴ Геологическая карта Хабаровского края и Амурской области. Масштаб 1:2500000, приложение к XIX т. Геологии СССР, Л. И. Красный (ред.), 1964. ⁵ Геология СССР, Л. И. Красный (ред.), 1964. ⁶ Л. И. Красный (ред.), 1966. ⁶ Л. И. Красный, А. М. Смирнов, ДАН, 117, № 3 (1957). ⁷ П. Н. Кропоткин, В кн. Вопросы геологии Азии, М., 1954. ⁸ Е. А. Радкевич, С. Ф. Усенко, М. В. Чеботарев, Геол. и геофиз., № 3 (1965).